

Peramalan Tingkat Pencemaran Udara Akibat Kendaraan Bermotor Dengan Metode Time Series Cheng

By Dedy Agung Prabowo

Peramalan Tingkat Pencemaran Udara Akibat Kendaraan Bermotor Dengan Metode Time Series Cheng

Lian Prasetyo Sinaga*, M Yoka Fathoni, Dedy Agung Prabowo

Fakultas Informatika, Prodi Sistem Informasi, Institut Teknologi Telkom, Purwokerto, Indonesia

Email: ¹*18103079@ittelkom-pwt.ac.id, ²myokafathoni@ittelkom-pwt.ac.id, ³dedy@ittelkom-pwt.ac.id Email Penulis Korespondensi: 18103079@ittelkom-pwt.ac.id

Submitted 28-07-2022; Accepted 14-08-2022; Published 30-08-2022

Abstrak

Polusi udara dapat didefinisikan sebagai adanya suatu zat, energi, dari komponen yang berbeda dalam aktifitas udara lingkungan melalui berbagai aktifitas masyarakat, termasuk dalam bidang transportasi karena 70% pencemaran udara berasal dari kendaraan. Sejalan dengan beragam kebutuhan manusia untuk berpindah tempat dan beraktifitas maka kegiatan transportasi juga akan meningkat mengikuti pertumbuhan yang ada, kemajuan ini terlihat dengan semakin banyaknya jumlah kendaraan yang ada dan terus bertambah dari tahun ke tahun, termasuk pada Derah Istimewa Yogyakarta (DIY). Pertambahan jumlah kendaraan yang semakin meningkat dapat mengakibatkan terjadinya kemacetan, yang memberi dampak negatif berupa pencemaran udara. Polutan yang banyak dihasilkan oleh kendaraan bermotor salah satunya yaitu Karbon monoksida (CO), karbon monoksida yang dihasilkan oleh kendaraan bermotor menghasilkan gangguan negatif terhadap kesehatan masyarakat. Karbon monoksida adalah gas beracun, yang dapat mengganggu hemoglobin (Hb) untuk mengantarkan oksigen segar kepada tubuh, saat persediaan oksigen berkurang akan menyebabkan nafas menjadi sesak bahkan sampai kematian sebagai akibat terburuknya. Berdasarkan permasalahan yang dijelaskan menjadi acuan dalam memprediksi besarnya parameter karbon monoksida di udara menggunakan Fuzzy Time Series Cheng yang akan ditampilkan dalam aplikasi berbasis web. Penelitian dilakukan menggunakan 30 data yang didapatkan dari Dinas Lingkungan Hidup (DLH) kota Yogyakarta, dengan hasil pengujian ketepatan menggunakan Mean Absolute Percentage Error (MAPE) mendapatkan nilai ketidakpastian sebesar 6,10% yang termasuk dalam kategori peramalan sangat baik.

Kata Kunci: Polusi Udara; Kendaraan; Karbon Monoksida; Peramalan; Fuzzy Time Series Cheng

20

Abstract

Air pollution can be defined as the presence of a substance, energy, from different components in environmental air activities through various community activities, including in the field of transportation because 70% of air pollution comes from vehicles. In line with various human needs to move places and activities, transportation activities will also increase following the existing growth, this progress can be seen by the increasing number of existing vehicles and continues to grow from year to year, including in the Special Region of Yogyakarta (DIY). The increasing number of vehicles can lead to congestion, which has a negative impact in the form of air pollution. One of the most common pollutants produced by motorized vehicles is carbon monoxide (CO), carbon monoxide produced by motorized vehicles produces a negative nuisance to public health. Carbon monoxide is a toxic gas, which can interfere with hemoglobin (Hb) to deliver fresh oxygen to the body, when oxygen supplies are reduced it will cause shortness of breath and even death as the worst consequence. Based on the problems described, it becomes a reference in predicting the amount of carbon monoxide parameters in the air using Fuzzy Time Series Cheng will be displayed in a web-based application. The study was conducted using 30 data obtained from the Environmental Service of the city of Yogyakarta, with the results of the accuracy test using the Mean Absolute Percentage Error (MAPE) getting an inaccuracy value of 6.10% which is included in the very good forecasting category.

Keywords: Air pollution; Vehicle; Carbon Monoxide; Forecasting; Fuzzy Time Series Cheng

1. PENDAHULUAN

Polusi udara dapat didefinisikan sebagai adanya suatu zat, energi, dari komponen yang berbeda dalam aktifitas udara lingkungan melalui berbagai aktifitas masyarakat sehingga menyebabkan penurunan kualitas udara sampai pada tahap tertentu yang menyebabkan udara pada lingkungan tidak mampu melakukan fungsinya dengan baik.[1] Udara digambarkan sebagai campuran dari beberapa macam gas yang pengelompokannya tidak pasti, dilihat dari tekanan udara, keadaan suhu udara, juga lingkungan sekelilingnya. Seiring dengan semakin berkembangnya zaman diikuti dengan semakin banyaknya aktifitas manusia, memiliki kecenderungan penurunan terhadap kualitas udara yang ada. Berbagai kegiatan yang dilakukan selayaknya kegiatan transportasi, industri, juga berbagai aktifitas lain memiliki dampak yang cukup signifikan untuk menyebabkan terjadinya pencemaran udara terutama pada kota-kota besar.[2] Pada bidang transportasi, aktifitas transportasi cenderung meningkat selaras dengan kebutuhan manusia dalam melakukan berbagai aktivitasnya.[3] sektor transportasi mempunyai peran besar terhadap pencemaran di udara, karena asap kendaraan memberi dampak 70% terhadap pencemaran. [4] Termasuk dalam Daerah Istimewa Yogyakarta yang menjadi salah satu tujuan wisatawan baik itu dalam maupun luar, dengan catatan kegiatan wisatawan ke Kota Yogyakarta menembus satu juta pada bulan Desember tahun 2020 yaitu sebanyak 1.384.781 wisatawan, baik dalam maupun luar negeri, dengan rincian wisatawan lokal sejumlah 1.344.211 orang, sementara wisatawan luar negeri sejumlah 40.570 orang menurut Dinas Pariwisata Kota Yogyakarta.[5]

Semakin banyaknya jumlah penduduk berpengaruh juga terhadap jumlah kendaraan yang mengalami peningkatan, terdaftar dari tahun 2017 sampai pada tahun 2020 terjadi peningkatan jumlah kendaraan yang terdaftar dari 1.311.073 menjadi 1.576.153 unit kendaraan menurut Badan Pusat Statistik (BPS) Provinsi Yogyakarta.[6] Pertambahan jumlah kendaraan yang semakin meningkat dapat mengakibatkan terjadinya kemacetan, yang menghasilkan pencemaran udara sebagai dampak negatifnya. Bahan bakar minyak yang digunakan untuk menggerakkan kendaraan, kemudian yang

2

Copyright © 2022 Lian Prasetyo Sinaga, Page 912

JURIKOM is licensed under a Creative Commons Attribution 4.0 International License

JURIKOM (Jurnal Riset Komputer), Vol. 9 No. 4, Agustus 2022 e-

difokuskan adalah gas buangan hasil dari pembakaran bahan bakar yang dikeluarkan knalpot yang merupakan pencampuran dari ratusan aerosol dan gas merupakan penyumbang utama beragam polutan keluar. Polutan yang dihasilkan oleh kendaraan bermotor adalah karbon dioksida (CO_2), hidrokarbon (HC), Sulfur dioksida (SO_2), timah hitam (Pb) nitrogen oksida (Nox) dan karbon monoksida (CO). [7]

Karbon monoksida (CO) adalah polutan yang paling banyak yang dihasilkan oleh kendaraan bermotor karena bensin menghasilkan 70% karbon monoksida. Gas karbon monoksida yang dihasilkan oleh kendaraan bermotor menimbulkan dampak negatif terhadap kesehatan masyarakat, karena karbon monoksida adalah gas pencemar beracun, yang dapat mengganggu hemoglobin (Hb) untuk mengantarkan oksigen segar kepada tubuh, saat persediaan oksigen berkurang akan menyebabkan nafas menjadi sesak bahkan sampai kematian sebagai akibat terburuknya.[8] Berdasarkan hal tersebut diatas [11] mewujudkan *Fuzzy Time Series* sebagai metode untuk memprediksi karbon monoksida yang akan dihasilkan karena tujuan utama dari *fuzzy time series* adalah untuk meramalkan data runtun waktu yang dipakai secara luas pada data *real time*, termasuk juga data parameter udara, dengan kelebihan yaitu lebih mudah dikembangkan karena proses perhitungannya tidak membutuhkan sistem yang rumit serta mampu menyelesaikan nilai-nilai linguistik yang merupakan masalah peramalan data historis.[9]

Penelitian terkait yang berhubungan dengan penelitian ini diantaranya adalah *Implementasi Metode Fuzzy Time Series Cheng* untuk prediksi Kosentrasi Gas NO₂ Di Udara oleh M.Y Fathoni yaitu mengembangkan sistem informasi prediksi gas NO₂ di udara dengan *time series cheng* sebagai metodenya, kemudian diukur ketepatannya menggunakan RMSE dengan presentase 2% yang termasuk kategori sangat baik. [11]

Penelitian oleh Rahmawati, Cynthia dan Susilowati mengenai *Metode Fuzzy Time Series Cheng* dalam Memprediksi Jumlah Wisatawan di Provinsi Sumatera Barat, yaitu penerapan metode *Fuzzy Time Series Cheng* dalam memprediksi jumlah wisatawan pada provinsi Sumatera Barat, yang kemudian diukur ketepatannya menggunakan MAPE dengan presentase 14.61% yang termasuk kategori baik. [4]

Penelitian oleh Fuziah, Devianto dan Maiyastari mengenai *Peramalan Beban Listrik Jangka Menengah di Wilayah Teluk Kuantan* dengan Metode *Fuzzy Time Series Cheng*, yaitu melakukan peramalan beban listrik periode jangka menengah menggunakan metode *Fuzzy Time Series Cheng* dalam beberapa bulan ke depan dalam pendistribusian listrik di Wilayah Teluk Kuantan, kemudian diukur ketepatannya menggunakan MAPE dengan presentase 4.45% yang termasuk kategori sangat baik. [12]

Penelitian oleh Admirani mengenai *Penerapan Metode Fuzzy Time Series Untuk Prediksi Laba Pada Perusahaan*, yaitu melakukan prediksi terhadap laba perusahaan menggunakan *heuristic time invariant fuzzy time series*, kemudian diukur ketepatannya menggunakan MAPE dengan presentase 11.64% yang termasuk kategori baik. [13]

Penelitian oleh Kanisius mengenai *Peramalan Menggunakan Metode Fuzzy Time Series Cheng* dan *Double Exponential Smoothing* (studi kasus: *Jumlah Wisatawan Mancanegara di Candi Borobudur*), yaitu penerapan metode *Fuzzy Time Series Cheng* serta metode *Double Exponential Smoothing* terhadap peramalan jumlah wisatawan Candi Borobudur, kemudian diukur ketepatannya menggunakan MAPE dengan presentase 7.42% yang termasuk kategori baik. [14]

Berdasarkan kondisi yang dijelaskan sebelumnya serta beberapa penelitian terkait menjadi latar belakang dalam memprediksi besarnya konsentrasi polutan udara yang disumbangkan oleh kendaraan bermotor khususnya karbon monoksida, sekaligus akan menguji seberapa baik implementasi *Time Series Cheng* dalam memprediksi data parameter karbon monoksida.

2. METODOLOGI PENELITIAN

Subjek yang digunakan adalah sasaran penelitian berupa variabel untuk mendapatkan dataset yang diperlukan yaitu Dinas Lingkungan Hidup (DLH) Kota Yogyakarta, kemudian objek penelitian yang diteliti adalah data parameter udara yaitu karbon monoksida (CO). Empat tahapan yang dilakukan dalam penelitian ini adalah studi literatur, pengumpulan data, sedur penelitian dan pengujian.

2.1 Studi Literatur

Studi literatur merupakan suatu cara mencari refensi teori yang berhubungan dengan permasalahan dalam penelitian[15] yaitu :

- Data parameter karbon monoksida yang dihasilkan di udara.
- Jumlah kendaraan di Kota Yogyakarta.

Referensi dapat ditemukan dari berbagai, jurnal, buku, artikel, serta macam-macam situs di internet dengan tujuan mendapatkan refensi yang memperkuat permasalahan dan menjadi acuan dalam melaksanakan penelitian.

2.2 Pengumpulan Data

Pengumpulan data-data yang diperlukan dalam menyelesaikan penelitian didapatkan melalui : a. Data Parameter CO pada kota Yogyakarta dari Dinas Lingkungan Hidup (DLH) kota Yogyakarta yang didapatkan pada 7 Januari 2022. b. Data jumlah kendaraan pada kota Yogyakarta dari Badan Pusat Statistik (BPS) kota Yogyakarta yang didapatkan pada 26 Januari 2022.

2.3 Prosedur Penelitian

Prosedur peramalan memakai metode *FTS Cheng* adalah sebagai berikut:

a. Penentuan himpunan semesta (U) data aktual, dengan cara:

$$\text{Dmin} = [\text{data paling kecil}] \quad (1)$$

Dengan Dmin mendefinisikan data paling kecil, sedangkan Dmax mendefinisikan data paling besar

b. Menentukan lebar interval melalui berbagai tahap yaitu:

1. Mencari rentang (*range*), dengan rumus yaitu :

$$R = \text{data paling besar} - \text{data paling kecil} \quad (2)$$

Dimana R merupakan rentang, data paling besar merupakan data paling besar dan data paling kecil merupakan data paling kecil 2. Mencari jumlah interval kelas yang terbentuk, dengan rumus persamaan Sturges:

$$k = 1 + 3,322 \times \log n \quad (3)$$

3. Mencari lebar interval, adapun rumusnya sebagai berikut:

$$h = \frac{\text{data paling besar} - \text{data paling kecil}}{k} \quad (4)$$

$$= \frac{\text{data paling besar} - \text{data paling kecil}}{1 + 3,322 \times \log n} \quad (4)$$

4. Mencari nilai tengah, adapun rumusnya sebagai berikut:

$$M_t = (\text{data paling besar} + \text{data paling kecil}) + h \quad (5)$$

$\frac{1}{2}(5)$

Dengan i menyesuaikan dengan banyaknya himpunan *fuzzy*

c. Membagi himpunan U dengan interval yang sesuai, kemudian melakukan proses membagi ulang kembali (*re-divide*) jika interval dengan nilai linguistik yang didapatkan masih lebih besar daripada rata-rata jumlah yang terbentuk, jadi harus membagi ulang kembali menghasilkan setengah dari setiap nilai linguistik yang sudah terbentuk sebelumnya.

d. Mencari himpunan *fuzzy* F_{FLR} serta dari data aktual yang didapat kemudian mengimplementasikan fuzzifikasi e. Menentukan *Fuzzy Logical Relationship* (FLR) sesuai dengan data aktual dan fuzzifikasi yang sudah terbentuk sebelumnya. FLR dapat disimbolkan dengan $\text{F}_{\text{FLR}} \rightarrow \text{F}_{\text{FLR}}$, dimana F_{FLR} diartikan sebagai kondisi saat ini dan F_{FLR} diartikan sebagai kondisi diwaktu selanjutnya.

f. Menentukan *Fuzzy Logical Relationship Group* (FLRG) dengan mengelompokkan seluruh relasi yang terbentuk serta diberikan bobot yang sesuai dengan perulangan dan urutan sama yang terbentuk. FLR dengan *current state* (F_{FLR}) sama akan dikelompokkan dalam suatu kelompok dalam suatu matriks pembobotan. Jika mendapatkan urutan FLR yang sesuai akan diberikan bobot seperti

$$\text{F}_{\text{FLR}}_4 \rightarrow \text{F}_{\text{FLR}}_5, \text{ diberikan bobot } 1$$

$$\text{F}_{\text{FLR}}_5 \rightarrow \text{F}_{\text{FLR}}_6, \text{ diberikan bobot } 1$$

$$\text{F}_{\text{FLR}}_4 \rightarrow \text{F}_{\text{FLR}}_5, \text{ diberikan bobot } 2$$

$$\text{F}_{\text{FLR}}_4 \rightarrow \text{F}_{\text{FLR}}_5, \text{ diberikan bobot } 3 \text{ dan seterusnya}$$

g. Menetapkan pembobotan pada kelompok relasi yang terbentuk, dengan nilai pembobotan setelah proses normalisasi.
h. Menghitung nilai peramalan, dengan cara mengalikan matriks pembobot dengan nilai tengah dari masing-masing himpunan yang terhubung dengan rumus:

$$\text{F}_{\text{FLR}}(\text{F}_{\text{FLR}}) = \text{F}_{\text{FLR}} \times (\text{F}_{\text{FLR}} - 1) \times \text{F}_{\text{FLR}} \times (\text{F}_{\text{FLR}} - 1) \quad (6)$$

Dengan F_{FLR} adalah matrik himpunan *fuzzy* dan $\text{F}_{\text{FLR}} \times (\text{F}_{\text{FLR}} - 1)$

adalah matrik bobot [16] 2.4 Pengujian

Proses pengujian ketepatan data hasil prediksi diimplementasikan dengan cara melakukan perbandingan antara data aktual dengan data hasil prediksi yang terbentuk untuk menilai tingkat *error* atau ketidakakuratan yang didapatkan. Metode pengukuran memiliki tujuan untuk menghasilkan ramalan optimal dengan sedikit tingkat kesalahan, kelayakan suatu data prediksi diukur dan emakin kecilnya tingkat kesalahan pada data prediksinya. Ketepatan dalam mengukur suatu peramalan dapat diukur menggunakan *Mean Absolute Percentage Error* (MAPE), berikut cara perhitungannya:

$$\text{MAPE} = \frac{1}{n} \sum_{i=1}^n \left| \frac{\text{data aktual} - \text{data peramalan}}{\text{data aktual}} \right| \times 100\% \quad (7)$$

data aktual = data aktual pada suatu periode ke- t

data peramalan = nilai hasil peramalan suatu periode ke- t

n = jumlah dari banyaknya data

13

Suatu data memiliki kinerja yang sangat bagus jika nilai MAPE berada dibawah 10%, selanjutnya kinerja bagus jika nilai MAPE berada diantara 10% dan 20%. [17]

3. HASIL DAN PEMBAHASAN

Berdasarkan hasil data jumlah kendaraan bermotor menurut Badan Pusat Statistik (BPS) Yogyakarta yang menunjukkan peningkatan jumlah kendaraan dari tahun 2017 sampai tahun 2020 yang menjadi alasan penelitian seperti pada tabel 1

Tabel 1. Data jumlah kendaraan menurut BPS Yogyakarta

No Jenis Kendaraan Tahun

			2017	2018	2019	2020
1	Mobil Penumpang	143.689	158.972	168.114	171.824	
2 3 4	Motor	1.311.073	5.041	46.817		
Bus	Jumlah	3.655	47.372	1.352.758		
Mobil		3.448	43.678	1.354.547	1.576.153	
Beban		40.652	1.203.535	1.575.074		
Sepeda		1.123.284	1.409.840	4.754		

Perhitungan peramalan parameter data CO dilakukan melalui tahapan proses akuisisi data gas CO yang didapatkan sebelumnya dari Dinas Lingkungan Hidup (DLH) Yogyakarta dengan waktu setiap 30 menit dari pukul 00.00 dan diakhiri pada pukul 14.30 WIB dengan banyaknya jumlah data yang diukur yaitu 30 data seperti pada tabel 2.

Tabel 2. Data Aktual CO

No Waktu Parameter CO

1	00:00	2455
2	00:30	2380
3	01:00	2419
.....
28	13:30	1214
29	14:00	1184
30	14:30	1191

1

3.1 Penerapan metode Fuzzy Time Series Cheng

Implementasi *Fuzzy Time Series Cheng* dalam meramalkan data parameter karbon monoksida di udara pada kota Yogyakarta berdasarkan data yang sudah didapatkan dengan cara sebagai berikut:

a. Penentuan Himpunan Semesta

Proses penentuan data aktual nilai terendah (Dmin) dan nilai data tertinggi (Dmax), untuk selanjutnya ditemukan D1 dan D2 sehingga diperoleh nilai himpunan semesta (*universe discourse*) $U = [1180;2460]$

b. Menentukan lebar Interval dengan berbagai tahap yaitu:

1. Mencari rentang (range), dengan rumus

$$\Delta = 2460 - 1180 = 1280$$

2. Mencari jumlah interval kelas yang terbentuk, dengan rumus persamaan Sturges:

$$\Delta = 1 + 3,322 \times \log 30 \\ = 5,874500141 \text{ kemudian dibulatkan menjadi } 6$$

3. Mencari lebar interval, adapun rumusnya sebagai berikut:

$$\Delta = \frac{1280}{6} \\ = 213,3333333$$

4. Mencari nilai tengah, dari masing-masing himpunan yang terbentuk

Setelah selesai menentukan lebar interval maka akan mendapatkan hasil dari perhitungan pertama yang digambarkan pada tabel 3.

Tabel 3. Hasil perhitungan pertama

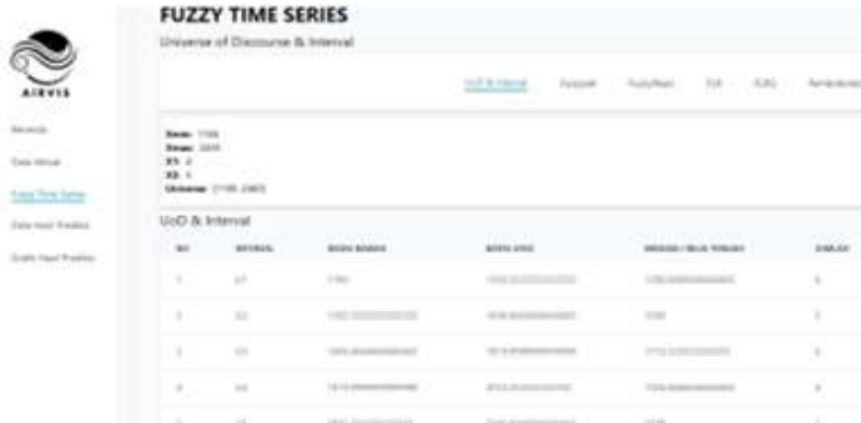
	U	Interval	Kelas	Jumlah	Nilai Tengah
U1	1180 ; 1393,333333	6	1286,666667		
U2	1393,333333 ; 1606,666667	5	1500		
U3	1606,666667 ; 1820	6	1713,333333		
U4	1820 ; 2033,333333	5	1926,666667		
U5	2033,333333 ; 2246,666667	2	2140		
U6	2246,666667 ; 2460	5	2353,333333		

Tampilan awal pembentukan himpunan semesta dan interval juga bisa dilihat dalam bentuk implementasi

website seperti pada gambar 1.



2 Copyright © 2022 Lian Prasetyo Sinaga, Page 915
JURIKOM is licensed under a Creative Commons Attribution 4.0 International License
JURIKOM (Jurnal Riset Komputer), Vol. 9 No. 4, Agustus 2022
e-ISSN 2715-7393 (Media Online), p-ISSN 2407-389X (Media Cetak)
DOI 10.30865/jurikom.v9i4.4587
3 Hal 912-920
<http://ejurnal.stmik-budidarma.ac.id/index.php/jurikom>



Gambar 1. Tampilan pembentukan himpunan dan interval

- c. Berdasarkan perhitungan pertama yang dilakukan masih didapatkan data *historical* yang lebih besar daripada jumlah rata-rata yang dihasilkan yaitu $\frac{1}{2} \times 6 = 3$, maka harus dilakukan proses *re-divide* menjadi setengahnya dengan hasil digambarkan pada tabel 4.

Tabel 4. Hasil perhitungan setelah *re-divide*

<u>U Interval Kelas Jumlah Nilai Tengah</u>					
U1	1180	;	1286,666667	3	1233,333333
U2	1286,666667	;	1393,333333	3	1340
U3	1393,333333	;	1500	3	1446,666667
U4	1500	;	1713,333333	2	1553,333333
U5	1713,333333	;	2246,666667	3	1660
U6	2246,666667	;	1820	3	1766,666667
U7	1820	;	1926,666667	3	1873,333333
U8	1926,666667	;	2033,333333	3	1980
U9	2033,333333	;	2246,666667	2	2140
U10	2246,666667	;	2353,333333	2	2300
<u>U11 2353,333333 ; 2460 3 2406,666667</u>					

- d. Melakukan proses Fuzzifikasi dengan cara menentukan data menjadi nilai linguistik kemudian diubah kedalam interval yang sesuai berdasarkan data konsentrasi CO yang didapat, seperti pada bulan Desember pada jam 00:30 sebesar 2380, yang dikelompokan dalam keanggotaan dengan nilailinguistik A11, karena berada dalam interval antara [2353,333333 ; 2460], sama halnya juga dengan data pada jam 02:00 sebesar 2254 yang dikelompokan dalam keanggotaan dengan nilai linguistik A10, karena berada dalam interval antara [2246,666667 ; 2353,333333]. Pengelompokan yang sama juga dilakukan dengan data CO lainnya yang ditampilkan pada tabel 5.

Tabel 5. Fuzzifikasi

<u>Waktu Parameter CO Fuzzifikasi</u>			
00:00	2455	A11	
00:30	2380	A11	
01:0	241		A1
0	9		1
01:3	234		A1
0	2		0
.....			
.....			
13:00	1299	A2	
13:30	1214	A1	
14:00	1184	A1	
14:30	1191	A1	

e. Fuzzy Logic Relation (FLR)

Proses FLR ditentukan berdasarkan pada data historis yang telah melalui proses fuzzifikasi dalam perhitungan sebelumnya. Penentuan FLR digambarkan $\text{◆◆◆} \rightarrow \text{◆◆◆◆}$, dimana ◆◆◆ adalah data himpunan pengamatan sebelumnya

yaitu $\{F_t\}_{t=1}^{n-1}$, kemudian $\{F_t\}_{t=1}^n$ adalah himpunan pengamatan saat ini yaitu $F(t)$ pada data *time series*. seperti pada tabel 6.

Tabel 6. FLR

<u>Waktu Parameter CO Fuzzifikasi FLR</u>					
		00:00	2455	A11	NA > A11
		00:30	2380	A11	A11 > A11
01:00	01:30		A11	A10	A10
2419	2342		A11	> A11	A11 >
.....
		13:00	1299	A2	A2 > A2
		13:30	1214	A1	A2 > A1
		14:00	1184	A1	A1 > A1
		14:30	1191	A1	A1 > A1

f. Fuzzy Logic Relation Group (FLRG)

Proses FLRG ditentukan dengan mengelompokkan seluruh relasi yang terbentuk pada proses FLR sebelumnya serta diberikan bobot yang sesuai dengan perulangan dan urutan yang terbentuk, seperti digambarkan pada tabel 7.

Tabel 7. FLRG

Nilai FLRG	
12	1 A1,A1
A3	A2 A2,A2,A1
A4	A4,A3
A3,A3,A2	
	A5 A5,A5,A6
	A6 A5,A7,A4
	A7 27 A7,A8
	A8 A9,A8,A6
	A9 A9,A8
	A10 A10,A7
	A11 A11,A11,A10

g. Pembobutan

Memberikan nilai pembobotan pada setiap kelompok relasi yang ada sesuai dengan FLRG yang terbentuk kemudian didapatkan hasil pembobotan seperti pada tabel 8.

Tabel 8. Pembobotan

A1 A2 A3 A4 A5 A6 A7 A8 A9 A10 A11 A12 0 0 0 0 0 0 0 0 0 0 0 0 A2 1 2 0 0 0 0 0 0 0 0 0 A3 0 1 2
0 0 0 0 0 0 0 A4 0 0 1 1 0 0 0 0 0 0 A5 0 0 0 2 1 0 0 0 0 A6 0 0 1 1 0 1 0 0 0 A7 0 0 0 0
1 1 1 0 0 0 A8 0 0 0 0 1 0 1 1 0 0 A9 0 0 0 0 0 0 1 1 0 0 A10 0 0 0 0 0 1 0 0 1 0 A11 0 0 0 0 0
0 0 0 1 2

Sebagai contoh jika ingin menghitung nilai pembobotan A2 , karena A2 berhubungan dengan A1 dan A2 maka menghasilkan nilai $[1/2, 2/2]$ sesuai dengan jumlah nilai pembobotan masing-masing dan jumlah nilai keseluruhan dari pembobotan yang terbentuk dalam relasi tersebut.

h. Perhitungan Nilai Prediksi

Selanjutnya adalah proses perhitungan nilai prediksi sesuai dengan rumus perhitungan (6), dengan contoh sebagai berikut:

??(???) 01:00) = ??(???) (???) 01:00) ??(???) (???) 00:30)

$$\text{At Ft At -Ft} | (A_t - F_t) / A_t | = [2300, 2406,666667] \quad [1^2, 3^2]$$

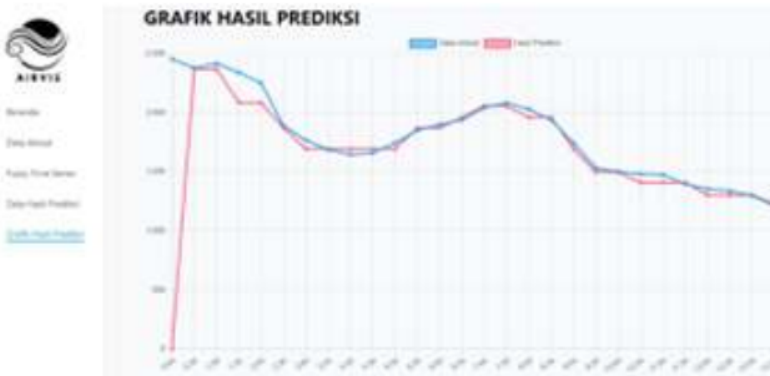
$$\text{At Ft At -Ft} | (A_t - F_t) / A_t | = 2347,4$$

Tampilan untuk keseluruhan nilai prediksi yang lengkap ditampilkan dalam tabel 9 sebagai berikut

Tabel 8. Hasil akhir prediksi

Waktu Parameter CO Prediksi	
00:00	2455 NA
00:30	2380 2347,4
01:00	01:30 2419 2342 2347,4 2347,4
.....
13:00	1299 1291,4
13:30	1214 1291,4
14:00	1184 1233,333333
14:30	1191 1233,333333

Selanjutnya ada tampilan grafik yang akan membandingkan nilai dari data aktual dengan hasil prediksi yang sudah diselesaikan dalam bentuk tampilan website yang sudah dibuat sebelumnya seperti dalam gambar 2.



Gambar 2. Tampilan grafik hasil prediksi

3.2 Pengujian

15

Proses pengujian ketepatan data hasil prediksi diimplementasikan dengan cara melakukan perbandingan antara data aktual dengan data hasil prediksi yang terbentuk untuk menilai tingkat error atau ketidaktepatan yang didapatkan. Pengujian ketepatan hasil peramalan menggunakan nilai *Mean Absolute Percentage Error* (MAPE), dengan hasil pengujian digambarkan seperti pada tabel 9.

Tabel 9. Hasil pengujian menggunakan MAPE

Indeks waktu	Data	nilai Aktual
Aktual Peramalan Error Nilai		
Absc 22	Error	Nilai Absolut Error dibagi dengan
T At Ft At -Ft (A_t - F_t) / A_t	1 2455 NA NA NA 2 2380 2347,4 32,6 32,6 0,013697479 3 2419 2347,4 71,6 71,6 0,029599008 4 2342 2347,4 -5,4 5,4 0,002305722 5 2254 2086,666667 167,3333333 167,3333333 0,074238391 6 1892 2086,666667 -194,6666667 194,6666667 0,102889359 7 1767 1854,6 -87,6 87,6 0,049575552 8 1690 1678,6 11,4 11,4 0,006745562 9 1647 1678,6 -31,6 31,6 0,0191864 10 1661 1678,6 -17,6 17,6 0,010596026 11 1746 1678,6 67,4 67,4 0,03860252 12 1853 1678,6 174,4 174,4 0,094117647 13 1902 1854,6 47,4 47,4 0,024921136 14 1942 1854,6 87,4 87,4 0,045005149 15 2046 1942,6 103,4 103,4 0,050537634	

2

Copyright © 2022 Lian Prasetyo Sinaga, Page 918
 JURIKOM is licensed under a Creative Commons Attribution 4.0 International License

23 1475 1397 78 78 0,052881356 24 1399 1397 2 2 0,001429593 25 1355 1397 -42 42 0,03099631
 26 1340 1291,4 48,6 48,6 0,036268657 27 1299 1291,4 7,6 7,6 0,005850654 28 1214 1291,4 -77,4
 77,4 0,063756178 29 1184 1233,333333 -49,33333333 49,33333333 0,041666667 30 1191
 1233,333333 -42,33333333 42,33333333 0,03554436

Total 1,771438199

n 29 MAPE 6,108407582

Berdasarkan hasil pengujian MAPE dilihat bahwa *error* terjadi dengan nilai yang beragam baik besar dan kecilnya sesuai perbandingan antara data aktual dengan hasil peramalan yang dihasilkan, semakin jauh perbandingan nilai data aktual dengan data peramalan maka akan semakin besar nilai *error* yang dihasilkan. Pengujian yang dilakukan untuk mengukur ketepatan peramalan metode *fuzzy time series cheng* mendapatkan hasil akhir pengukuran nilai MAPE 6,10 %. MAPE dengan nilai kurang dari 10% dapat didefinisikan sebagai sangat baik kemampuan peramalannya, kemudian MAPE dengan nilai lebih besar dari 10% namun kurang dari 20% didefinisikan sebagai baik kemampuan peramalannya. Dengan demikian metode *Time Series Cheng* dinilai sangat baik untuk meramalkan parameter CO di Yogyakarta.

4. KESIMPULAN

Sesuai dengan hasil pengujian data prediksi yang diterapkan dalam proses sebelumnya menggunakan metode *Fuzzy Time Series Cheng* dengan hasil uji menggunakan 30 data parameter CO menunjukkan hasil yaitu penerapan metode *Fuzzy Time Series Cheng* dalam memprediksi parameter udara karbon monoksida di udara di kota Yogyakarta mendapatkan nilai ukuran ketepatan peramalan MAPE dengan nilai 6,10 %, dimana nilai tersebut mempunyai persentase nilai dibawah 10% sehingga disimpulkan bahwa kemampuan *fuzzy time series cheng* dalam memprediksi parameter karbon monoksida di udara dalam peramalannya dikatakan sangat baik. Kemudian untuk saran mengenai penelitian selanjutnya adalah Bagi peneliti untuk menambah meramalkan parameter-parameter udara lain yang juga memiliki kemungkinan berbahaya bagi masyarakat seperti nitrogen oksida (NOx), hidrokarbon (HC), Sulfur dioksida (SO₂), Partikulat 10 (PM10) dan juga karbondioksida (CO₂), kemudian mencoba menggunakan metode peramalan lain seperti metode Metode Box-Jenkins ataupun metode Double Exponential Smoothing dalam proses peramalan lainnya. Selanjutnya saran untuk pemerintah adalah untuk menggalakkan pemakaian trasnportasi umum kepada masyarakat, dengan kualitas yang lebih baik serta memiliki jangkauan yang lebih luas sehingga bisa dijadikan alternatif transportasi perjalanan untuk masyarakat, sekaligus untuk mengurangi polutan yang ada di udara dengan menggunakan trasnportasi umum dibandingkan dengan kendaraan pribadi, serta juga himbauan kepada masyarakat untuk tetap terus menggunakan masker ketika berada di jalan sebagai bentuk pencegahan penyakit dan meminimalisir polutan yang masuk kedalam tubuh.

REFERENCES

- [1] M. Rosyidah, "POLASI UDARA DAN KESEHATAN PERNAFASAN," 2016.
- [2] M. FAJRUSH S. W, "KAJIAN KONDISI UDARA AMBIENT DENGAN JUMLAH KENDARAAN BERMOTOR DI UNIVERSITAS MUHAMMADIYAH PURWOKERTO," 2017.
- [3] R. Wirosedarmo, B. Suharto, and D. E. Proborini, "Analisis Pengaruh Jumlah Kendaraan Bermotor Terhadap Karbon Monoksida di Terminal Ariosari," *Jurnal Sumberdaya Alam dan Lingkungan*, vol. 7, no. 2, pp. 57–64, Aug. 2020, doi: 10.21776/ub.jsal.2020.007.02.2 10
- [4] S. Gunawan, H. Hasan, and R. D. W. Lubis, "Pemanfaatan Adsorben dari Tongkol Jagung sebagai Carbon Aktif untuk Mengurangi Emisi Gas Buang Kendaraan Bermotor," *Jurnal Rekayasa Material, Manufaktur dan Energi*, vol. 3, no. 1, pp. 38–47, Mar. 2020, doi: 10.30596/rmmne.v3i1.4527.
- [5] Dinas Pariwisata Kota Yogyakarta, "Kajian Kunjungan Wisata Kota Yogyakarta," 2020.
- [6] DINAS PERHUBUNGAN DAERAH ISTIMEWA YOGYAKARTA, "TRANSPORTASI DALAM ANGKA," 2021.
- [7] Devi Marlita and Deslida Saidah, *Pencemaran Udara Akibat Emisi Gas Buang Kendaraan Bermotor*, vol. 1. Stationery Office, 2014.
- [8] S. K. Sarungallo, G. Putu, and R. Agung, "Rancangan Bangun Alat Ukur Uji Emisi Gas Karbon Monoksida (CO) Berbasis Mikrokontroler," *Teknologi Elektro*, vol. 16, 2019.
- [9] M. Wati and N. Puspitasari, "Penerapan Metode Fuzzy Time Series Chen dan Hsu dalam Memprediksi Kunjungan Wisatawan di Museum Mulawarman," *JURTI*, vol. 4, no. 2, 2020.

Copyright © 2022 Lian Prasetyo Sinaga, Page 919

JURIKOM is licensed under a Creative Commons Attribution 4.0 International License

JURIKOM (*Jurnal Riset Komputer*), Vol. 9 No. 4, Agustus 2022 e-ISSN 2715-7393 (Media Online), p-ISSN 2407-389X (Media Cetak)
 DOI 10.30865/jurikom.v9i4.4587



Hal 912–920
<http://ejurnal.stmik-budidarma.ac.id/index.php/jurikom>

- [10] M. Y. Fathoni, "Implementasi Metode Fuzzy Time Series Cheng untuk prediksi Kosentrasi Gas NO₂ Di Udara," *JURNAL SISTEM INFORMASI BISNIS*, vol. 7, no. 1, p. 17, May 2017, doi: 10.21456/vol7iss1pp17-23.
- [11] Rahmawati, E. P. Cynthia, and K. Susilowati, "Metode Fuzzy Time Series Cheng dalam Memprediksi Jumlah Wisatawan di Provinsi Sumatera Barat," 2019.
- [12] L. Fauziah, D. Devianto, and Maiyastari, "PERAMALAN BEBAN LISTRIK JANGKA MENENGAH DI WILAYAH TELUK KUANTAN 14 NGAN METODE FUZZY TIME SERIES CHENG," 2019.
- [13] I. Admirani, "Penerapan Metode Fuzzy Time Series Untuk Prediksi Laba Pada Perusahaan," 2018.
- [14] P. Kanisius Ola, "PERAMALAN MENGGUNAKAN METODE FUZZY TIME SERIES CHENG DAN DOUBLE EXPONENTIAL SMOOTHING (STUDY KASUS: JUMLAH WISATAWAN MANCANEGARA DI CANDI BOROBUDUR)," *Jurnal Statistika Industri dan Komputasi*, vol. 1, no. 1, pp. 69–79, 2019.
- [15] Mey Lista Tauryawati and M. Isa.Irawan, "Perbandingan Metode Fuzzy Time Series Cheng dan Metode Box-Jenkins untuk Memprediksi IHSG," vol. 3, pp. A34–A39, 2014.
- [16] A. Jamaludin, "Peramalan Jumlah Pinjaman Menggunakan Metode Fuzzy Time Series Cheng," 2017.
- [17] M. Yoka Fathoni and S. Wijayanto, "Forecasting Penjualan Gas LPG di Toko Sembako 87," 2021.

Peramalan Tingkat Pencemaran Udara Akibat Kendaraan Bermotor Dengan Metode Time Series Cheng

ORIGINALITY REPORT

15%

SIMILARITY INDEX

PRIMARY SOURCES

- 1 Rahmawati Bakri, Syarifah Inayati, Yuliana Yuliana, Anggi Hanafiah. "PREDIKSI JUMLAH PESERTA BPJS PENERIMA BANTUAN IURAN (PBI) APBN MENGGUNAKAN METODE FUZZY TIME SERIES CHENG", BAREKENG: Jurnal Ilmu Matematika dan Terapan, 2021

[Crossref](#)

156 words — 3%
- 2 Jiong-Tang Li, Qi Wang, Mei-Di Huang Yang, Qing-Song Li et al. "Parallel subgenome structure and divergent expression evolution of allo-tetraploid common carp and goldfish", Nature Genetics, 2021

[Crossref](#)

99 words — 2%
- 3 Ervinda Oktina Dewi, Santoso Setiawan. "Penggunaan Metode Simple Additive Weighting Untuk Pemilihan Guru Berprestasi Pada TK Kemurnian 1 Jakarta", Jurnal Infortech, 2020

[Crossref](#)

81 words — 2%
- 4 Dodi Devianto, Aulia Zuardin, Maiyastri Maiyastri. "TIME SERIES MODELING OF NATURAL GAS FUTURE PRICE WITH FUZZY TIME SERIES CHEN, LEE AND TSAUR", BAREKENG: Jurnal Ilmu Matematika dan Terapan, 2022

[Crossref](#)

35 words — 1%
- 5 Fatkhurokhman Fauzi, Dwi Agustina, Indah Manfaati Nur. "EVALUASI METODE FUZZY TIME SERIES CHENG

29 words — 1%

DAN RUEY CHYN TSAUR", VARIANCE: Journal of Statistics and Its Applications, 2021

Crossref

- 6 Hozairi, Syariful Alim, Marcus Tukan. "Forecasting Number of Legal Violations in Indonesian Sea Using the Fuzzy Double Exponential Smoothing Method", JEECS (Journal of Electrical Engineering and Computer Sciences), 2020
Crossref 27 words – 1 %
- 7 Nursatio Nugroho, Faisal Dharma Adhinata. "Penggunaan Metode K-Means dan K-Means++ Sebagai Clustering Data Covid-19 di Pulau Jawa", Teknika, 2022
Crossref 22 words – < 1 %
- 8 Ricky Mubarak, Tursina Tursina, Enda Esyudha Pratama. "Prediksi Hasil Tangkapan Ikan Menggunakan Fuzzy Time Series", Jurnal Sistem dan Teknologi Informasi (Justin), 2020
Crossref 20 words – < 1 %
- 9 DEIIIN D INDWEK. "PENGARUH LAMA KERJA TERHADAP KADAR HEMOGLOBIN PADA PEKERJA YANG TERPAPAR ASAP KENDARAAN BERMOTOR", Media Husada Journal Of Nursing Science, 2022
Crossref 19 words – < 1 %
- 10 Hanapi Hasan, Safri Gunawan, Robert Silaban, Ferry Indra Sakti H Sinaga, Janter Pangaduan Simanjuntak. "An experimental study of liquid smoke and charcoal production from coconut shell by using a stove of indirect burning type", Journal of Physics: Conference Series, 2022
Crossref 19 words – < 1 %
- 11 Dwi Kartini, Husna Rusdiani, Andi Farmadi. "Analisis Pengaruh Banyak Orde pada Metode Multivariate High-Order Fuzzy Time Series untuk Prediksi Duga
18 words – < 1 %

- 12 Fowler, T.J.. "Crossing the boundary between the B@*a* and B@*b* mating-type loci in *Schizophyllum commune*", Fungal Genetics and Biology, 200401
Crossref 18 words – < 1 %
- 13 Mahrus Mahrus, Tony Yulianto, Faisol Faisol. "Perbandingan Metode Exponential Smoothing dan Moving Average Pada Peramalan Jumlah Produksi Garam di Madura", Zeta - Math Journal, 2021
Crossref 18 words – < 1 %
- 14 Dio Yudha Perdana, Magdalena A. Ineke Pakereng. "Prediksi Tingkat Pengangguran Berdasarkan Data Time Series Menggunakan Regresi Linear (Studi Kasus : Kota Salatiga)", Jurnal EMT KITA, 2022
Crossref 16 words – < 1 %
- 15 Indra Jiwana Thira, Nissa Almira Mayangky, Desiana Nur Khalifah, Imanuel Balla, Windu Gata. "Peramalan Data Kunjungan Wisatawan Mancanegara ke Indonesia menggunakan Fuzzy Time Series", Jurnal Edukasi dan Penelitian Informatika (JEPIN), 2019
Crossref 15 words – < 1 %
- 16 Ilham Safar, Amsar Amsar. "Implementasi Metode Certainty Factor pada Aplikasi Diagnosa Penyakit dan Hama Tanaman Pala Berbasis Android", remik, 2022
Crossref 14 words – < 1 %
- 17 B Anggarani, P Wibowo, F Aditama. "Air dispersion modelling for emission mitigation of power plant technology", IOP Conference Series: Earth and Environmental Science, 2020
13 words – < 1 %

- 18 Alvin Dio Nugroho, Purbo Suwandono, Dadang Hermawan, Arief Rizki Fadhillah. "Pengaruh jumlah sudu terhadap unjuk kerja 3D print turbin air tipe vortex", Turbo : Jurnal Program Studi Teknik Mesin, 2022
[Crossref](#) 10 words – < 1 %
- 19 Anikhotul Ihrom, Ani Sulistyarsi. "BIOMONITORING PENCEMARAN UDARA MENGGUNAKAN BIOINDIKATOR LICHENES DI KOTA MADIUN", Florea : Jurnal Biologi dan Pembelajarannya, 2015
[Crossref](#) 10 words – < 1 %
- 20 Boslaugh. Encyclopedia of Epidemiology Publications 10 words – < 1 %
- 21 Maulidatul Fathiyah, Khulmi Hasanah, Ahmad Fauzan Hidayatullah. "Pemanfaatan Sansevieria sp Dalam Menyerap Polusi Gas Kendaraan Bermotor Di Kampus 2 UIN Walisongo Semarang", JURNAL KESEHATAN LINGKUNGAN: Jurnal dan Aplikasi Teknik Kesehatan Lingkungan, 2020
[Crossref](#) 10 words – < 1 %
- 22 Miko Kastomo Putro, Muhammad Suyanto, Eko Pramono. "Prediksi Ketahanan PC Overclocking dengan Menggunakan Regresi Linier", Jurnal Teknologi Informasi, 2021
[Crossref](#) 9 words – < 1 %
- 23 R. Rizki Amalia, Nina Hairiyah. "Peramalan Kebutuhan Bahan Baku Tandan Buah Segar (TBS) Menggunakan Metode Exponential Smoothing dan Linier Regresion di PT. Pola Kahuripan Intisawit", Jurnal Teknologi Agro-Industri, 2018
[Crossref](#) 9 words – < 1 %

- 24 Akmaludin Akmaludin, Erene Gernaria Sihombing, Rinawati Rinawati, Frisma Handayanna, Linda Sari Dewi, Ester Arisawati. "Generation 4.0 of the programmer selection decision support system: MCDM-AHP and ELECTRE-elimination recommendations", International Journal of Advances in Applied Sciences, 2023

Crossref

- 25 F. de Vries. "Severity of obstructive airway disease and risk of osteoporotic fracture", European Respiratory Journal, 05/01/2005

Crossref

- 26 Mahadi Muhammad, Sri Wahyuningsih, Meiliyani Siringoringo. "Peramalan Nilai Tukar Petani Subsektor Peternakan Menggunakan Fuzzy Time Series Lee", Jambura Journal of Mathematics, 2021

Crossref

- 27 Chao Ou-Yang, Hsin-Jung Cheng, Yeh-Chun Juan. "An Integrated mining approach to discover business process models with parallel structures: towards fitness improvement", International Journal of Production Research, 2014

Crossref

EXCLUDE QUOTES

OFF

EXCLUDE BIBLIOGRAPHY

OFF

EXCLUDE SOURCES

OFF

EXCLUDE MATCHES

OFF